

## 論 文

## 單一 모드 光纖維 接續損失 評價方法에 關한 研究

正會員 金 鍾 元\*

Evaluation Method of Splicing Loss  
for Single Mode Optical Fiber

Jong Won Kim\* Regular Member

## 要 約

光纖維가 가지고 있는 損失 特性 中 接續損失 及 評價方法을 測定 分析 하였다.

現在 長波長用 單一모드 光纖維 接續損失 測定은 Cut-Back 方法과 後方散亂 損失 測定方法으로 施行하고 있다. 이 두 方法을 使用하여 얻어진 測定값을 比較해 본 結果 OTDR에 의한 接續損失評價 方法은兩 方向에서 測定된 値을 算術 平均으로 計算하여야 한다. 이 結果는 理論的인 計算値과 一致함을 보여주고 있으며 또한 接續될 兩 光纖維의 後方 散亂 係數値 差에 의하여 發生됨을 보여준다. 따라서 光케이블 施設時 データ 管理運營 側面에서 確實한 適用이 期待된다.

## ABSTRACT

The evaluation methods of the splicing loss in attenuation characteristics of optical fiber were measured and analyzed presently, the splicing loss of single mode optical fiber is measured by the cut-back technique and the backscattering technique. Comparing the splicing loss measured by above two technique, evaluation method of splicing loss measured by backscattering technique (OTDR) shall be calculated by the numerical mean in both directions. This average value is same as theoretical expression. And the splicing loss is occurred due to difference of the backscattering coefficient in the spliced fibers. Thus, this analysis of the splicing loss is certainly applied in installation of the optical fiber cables for management of the data.

## 1. 序 論

21世紀 現代 情報 通信 文化的 主役을 이루어 놓은

\* 備成通信建設(株)  
論文番號 : 93-84

光通信의 技術 및 擴充은 國內, 外의으로 보다 活用化 範圍를 크게하여 光케이블, 光시스템 및 光素子에 이르기까지 모두 第2의 跳躍을 이루어 놓았으며 이제는 앞으로 展開될 未來通信 事業에 요구될 各種 情報 시스템의 慾求를 充足시키기 위하여 多方面 實用化를 計劃하고 있다.<sup>(1)</sup> 이를 위해 先行될 일은 光纖維

케이블의 施設 確保이며 이러한 施設確保는 光纖維 케이블이 가지고 있는 輕量, 少徑 및 기타 廣帶域性을 考慮하여 여러가지 側面에서 開發되어야 한다. 또한 施設時 必修의으로 要求되는 光纖維 接續 技術은 多量모드(Multi-Mode) 光纖維 및 單一모드(Single-Mode) 光纖維 開發과 함께 여러形態의 接續方法을 開發<sup>(3)(4)</sup> 이부분 역시 눈부신 發展을 이루해 놓았다.

現在 國內에서 光纖維 接續損失 規格은 韓國通信 및 韓國電力公社 모두 0.15dB미만으로 규정하고 있지만 이 값은 앞으로 0.05dB까지의 管理도 計劃中에 있을 程度로 높은 수준에 와있다.

하지만 이러한 施設要求와 함께 立行되어야할 問題點은 發生된 接續損失의 評價 method의 檢討가先行되어야 하며 評價method이 提示된 文獻은 發見하지 못하였다. 多量모드 및 單一모드 光纖維 接續에 있어, 接續損失을 誘發시키는 要因은 모드 쿨드徑(MFD)의 不一致, 比屈折率( $\Delta n$ )差, 코아 非圓率差 等 光纖維파라메타(Parameter)에 의한 固有損失 要因과 接續될 두 光纖維의 斷面 不良, 軸整例 등 接續技術에 의한 附加損失로서 發生하고 있다.<sup>(6)</sup>

이중 固有損失要因에 의해 發生되는 接續損失과 관관하여 評價method에 있어 많은 問題點이 檢討되고 있다. 그중 MFD差에 의해 發生되는 接續損失을 OTDR로<sup>(7)</sup> 測定시 測定方向에 따른 接續損失 差異값에 대한 理論的 解析과 實驗值를 分析, 그 內容을 研究調査 하고자 한다.

## II. 接續損失의 評價 方法

接續損失에 관한 測定方法은 現在 後方散亂法에 의한 測定과 接續시 使用되는 接續機 内에서의 클래딩 모드 散亂 파워를 利用하여 計算하는 簡易方法과<sup>(5)</sup> 그밖의 精密한 測定을 위한 Cut-Back method이 使用되고 있으나 OTDR에 의한 測定方法을 除外한 나머지 두方法 中 前者는 正確性 缺如된 問題點을 가지고 있으며 後者는 實際 施設된 光케이블에서는 適用이 어려운 短點을 가지고 있다.

따라서 接續損失 測定은 現在 OTDR(Optical Time Domain Reflectometer)에 의한 測定에 依存하고 있다.

### 1. 後方散亂法에 의한 損失 測定

光纖維 損失 및 接續損失을 測定하기 위해 사용되는 後方散亂法은 빛이 유리내에서 進行할때 發生되

는 Rayleigh 後方散亂 파워를 OTDR을 利用하여 損失을 測定하는 方法으로 光纖維내 두 地點 사이의 後方散亂 레벨差를 式(1)의 計算式을 利用 그림1과 같이 損失을 測定하게 된다.

$$\alpha_0 = \frac{\left( \sum_{i=1}^n L_i \right) \left( \sum_{i=1}^n P_i \right) - n \left( \sum_{i=1}^n L_i P_i \right)}{n \left( \sum_{i=1}^n L_i^2 \right) - \left( \sum_{i=1}^n L_i \right)^2} [dB/Km] \quad (1)$$

여기서

$$P_i : 5 \log \{ S_{10}^{2\alpha_0(L-L_i)/10} + N_i \} [dB]$$

$\alpha_0$ : 實際 光纖維 損失 [dB/Km]

L: 光纖維 길이 [Km]

$$L_i : \frac{L}{n-1} [Km]$$

n: 샘플링 데이터數

S: Li = L에서의 後方散亂 信號振幅

Ni: i地點에서의 雜音 振幅이다.

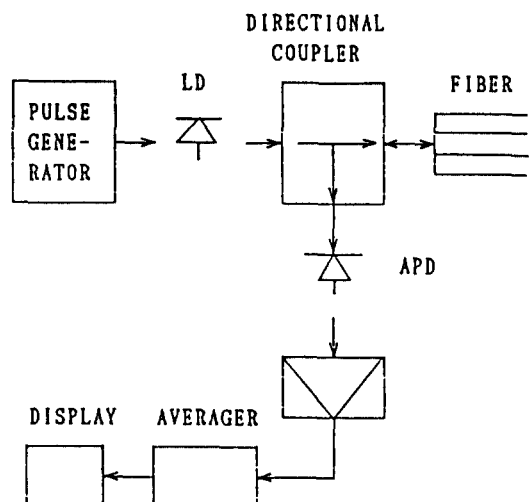


그림 1. OTDR 方框圖

Fig. 1. OTDR block diagram

### 2. OTDR 測定에 의한 接續損失의 理論的 解析

두개의 光纖維가 接續된 接續 地點에서의 光파와 現象은 그림2와 같다.

따라서 接續 地點의 實質的인 接續 損失은 다음式으로 나타난다.

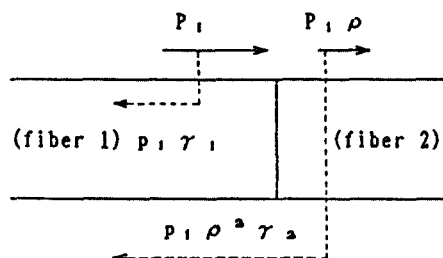


그림 2. 두개의 光纖維 接續地點에서의 光파워 現象  
Fig. 2. Optical power phenomenon in splicing point

$P_1$ : 光파워

$\rho$ : 接續地點에서의 傳送係數

$r$ : 後方散亂係數

$$L_o = -10 \log \frac{P_1 \cdot \rho}{P_1} = 10 \log \frac{1}{\rho} \quad (2)$$

그림2에서 後方 散亂 方法에 의해 測定된 接續損失은 光필스가 光纖維1에서 光纖維2로 傳送될 때 다음式으로 나타난다.

$$\begin{aligned} L_r &= \frac{1}{2} \times (-10 \log \frac{P_1 \cdot \rho^2 \cdot \gamma_2}{P_1 \cdot \gamma_1}) \\ &= 10 \log \frac{1}{\rho} - 5 \log \frac{\gamma_2}{\gamma_1} \end{aligned} \quad (3)$$

마찬가지로 光필스가 光纖維 2에서 光纖維1로 傳送될 때에 接續 損失은 다음 式으로 된다.

$$\begin{aligned} L_r &= \frac{1}{2} \times (-10 \log \frac{P_1 \cdot \rho^2 \cdot \gamma_1}{P_1 \cdot \gamma_2}) \\ &= 10 \log \frac{1}{\rho} - 5 \log \frac{\gamma_1}{\gamma_2} \\ &= 10 \log \frac{1}{\rho} + 5 \log \frac{\gamma_2}{\gamma_1} \end{aligned} \quad (4)$$

式(3), 式(4)는 다음 式으로 바꾸어 쓸 수 있다.

$$L_r = L_o - \Delta L_r \quad (5)$$

$$L_r = L_o + \Delta L_r \quad (6)$$

$$\text{여기서 } \Delta L_r = 5 \log \frac{\gamma_2}{\gamma_1} = 5 \log \frac{\alpha R_2 \Delta_2}{\alpha R_1 \Delta_1}$$

式(5)와 式(6)으로 부터 OTDR로 測定한 實際的인 接

續損失  $L_r$ 는 다음式과 같다.

$$L_r = \frac{1}{2} (L_{r1} + L_{r2}) \quad (7)$$

여기서  $r_2 > r_1$  이면  $\Delta L_r$  값은 +이며 이경우  $L_r$ 은 (-) 값을 가지며  $L_r$ 은 實際 接續損失  $L_o$  보다 큰 값이 된다.

이경우 (-)接續 損失은 OTDR상에 다음과 같이 나타난다.

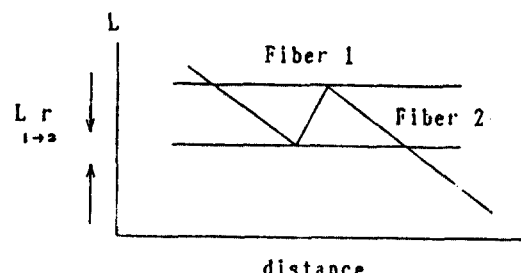


그림 3. OTDR 測定에 의한 接續損失

Fig. 3. Splicing loss by OTDR measurement

### III. 光파라메타에의한 接續損失

固有接續 損失의 發生 要因은 光파라메타에의한 不一致 즉, MFD(MODE Field Diameter),  $\Delta n$ , 코아比率, 클래딩徑(Cladding Diameter) 및 屈折率 Profile 差等에 의한 要因을 가지고 있으며 이중單一모드 光纖維에서는 MFD 不一致에 의한 接續 損失發生이 가장 빈것으로 나타나 있다.<sup>(10)</sup>

#### 1. MFD差에 의한 理論的 接續損失

서로 다른 MFD差에 의한 光纖維 接續損失은 接續될 光纖維의 Spot Size의 差에 의해 發生된다. 이때의 光傳送 係數  $T_o$ 는 다음과 같이 表現된다.

$$T_o = \left( \frac{2w_1 w_2}{w_1^2 + w_2^2} \right)^2 \quad (8)$$

$w_1, w_2$ : 接續될 光纖維의 Spot Size임.

그러므로 光纖維 接續損失은 式 (9)로서 나타낼수 있다.

$$\alpha_o = -10 \log \left( \frac{2w_1 w_2}{w_1^2 + w_2^2} \right)^2 [\text{dB}] \quad (9)$$

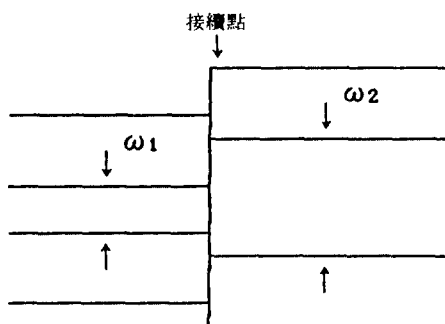


그림 4. MFD 差에 의한 接續點  
Fig. 4. Splicing point on MFD differences

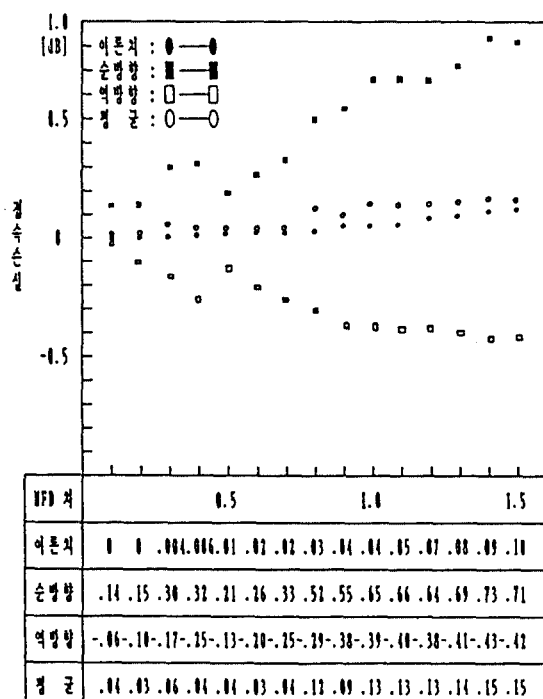
## 2. MFD 差에 따른 接續損失 實驗 데이타

MFD 差에 의한 接續 損失 率의 實驗 測定을 위해 MFD 差가 0.1에서 1.5까지의 차이를 갖는 光纖維를 Sampling하여 接續을 實施하였으며 測定은 OTDR로 順方向, 逆方向 각각의 率를 記錄하였다.

그 결과 表1에 나타난 바와 같이 OTDR에 의한 하

表 1. MFD 差에 의한 접속손실

Table 1. splice Loss of MFD differences



방향 測定 率은 方向에 따라 陰(+)의 率의 發生과 함께 MFD 差가 클수록 그 率이 매우 커으며 理論值 率과는 相異한 內容을 가졌다. 그러나 平均 率은 理論 率附近에 形成되어 理論值와 매우 비슷한 結果를 얻을 수 있었다.

## 3. 測定方法에 따른 接續損失 率 比較 分析

接續損失의 正確한 評價를 위하여 임의의 光纖維로 集團을 Sampling하여 接續을 實行한 다음 OTDR 測定 方向에 따른 率과 理論的 計算值, 그리고 Cut-Back 測定에 의한 率과의 差異를 比較, 分析하여 그 結果를 調査하였다.

### 3-1. 使用 光纖維 DATA

表 2. 使用된 光纖維 데이타

Table 2. The Data of used optical fibers

접속점	M.F.D.	Cladding 경	분산
1 × 2	9.72 × 9.75	124.97 × 124.92	2.74 × 2.76
2 × 3	9.87 × 10.25	125.41 × 125.84	2.46 × 2.66
3 × 4	10.25 × 9.91	125.18 × 125.52	2.66 × 2.31
4 × 5	9.92 × 10.03	125.53 × 125.64	2.31 × 2.62
5 × 6	10.24 × 10.35	125.04 × 125.03	2.62 × 2.38
6 × 7	10.37 × 9.99	126.27 × 125.48	2.38 × 2.11
7 × 8	9.722 × 9.63	126.29 × 124.70	2.11 × 2.69
8 × 9	9.61 × 10.01	125.16 × 125.38	2.69 × 2.51
9 × 10	10.04 × 10.36	126.12 × 26.44	2.51 × 2.80
10 × 11	10.33 × 9.93	125.52 × 125.31	2.80 × 2.57
평균 率	10.01	125.49	2.52



### 3-2. OTDR/CUT-BACK 測定 率 比較

表 3. OTDR/Cut-Back 測定 値 比較

Table. 3. Comparison of Measurements by OTDR/Cut-Back

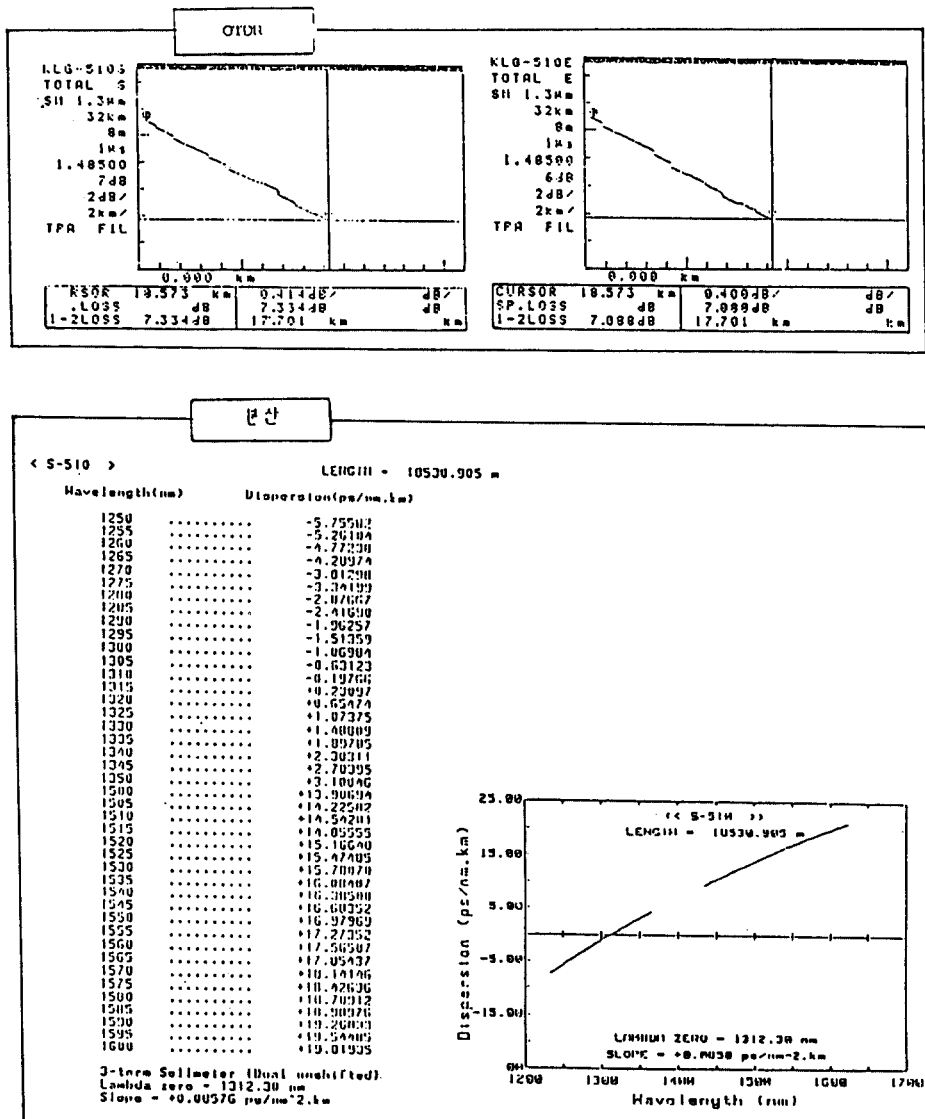
드럼 No	접속점	접속손실(OTDR) 1.3μm			Cut-Back 접속손실 (1.3μm)	MFD	MFD차	Clad 경	Dispersion	길이 (순방향) (역방향)	비고
		순방향	역방향	평균							
1 × 2	S1 청 × 등	0.188	0.055	0.12	0.11	9.72	0.03	124.97	2.74	1,704	*총길이 18,735m
						9.75		124.92	2.46	17,031	
2 × 3	S2 등 × 녹	0.235	-0.141	0.05	0.06	9.87	0.38	125.41	2.46	3,480	15,335
						10.25		125.84	2.66	15,335	
3 × 4	S3 녹 × 적	-0.021	0.241	0.11	0.13	10.25	0.34	125.18	2.66	5,112	13,631
						9.91		125.52	2.31	13,631	
4 × 5	S4 적 × 황	0.200	0.154	0.18	0.11	9.92	0.11	125.53	2.31	6,816	11,927
						10.03		125.64	2.62	11,927	
5 × 6	S5 황 × 자	0.263	-0.050	0.11	0.07	10.24	0.11	125.04	2.62	8,520	10,223
						10.35		125.03	2.38	10,223	
6 × 7	S6 자 × 흑	-0.022	0.302	0.14	0.12	10.37	0.38	126.27	2.38	10,223	8,520
						9.99		125.48	2.11	8,520	
7 × 8	S7 흑 × 백	-0.108	0.027	0.04	0.03	9.72	0.09	126.29	2.11	11,927	6,816
						9.63		124.70	2.69	6,816	
8 × 9	S8 백 × 회	0.338	0.020	0.18	0.14	9.61	0.4	125.16	2.69	13,631	5,112
						10.01		125.38	2.51	5,112	
9 × 10	S9 회 × 연청	0.206	-0.019	0.09	0.10	10.04	0.32	126.12	2.51	15,335	3,408
						10.36		126.44	2.80	3,408	
10 × 11	S10 연청 × 연동	-0.050	0.265	0.10	0.10	10.33	0.41	125.52	2.80	17,031	1,704
						9.92		125.31	2.57	1,704	
평균값	X	0.123	0.085	0.14	0.097	10.01	0.26	125.49	2.52	18,735	
편 차	$\sigma X(Sx)$	0.157	0.148	0.04	0.034						

表 4. 測定結果

Table. 4. Results of measurement

항 목	OTDR			CUT-BACK	비고
	순방향	역방향	평균값		
접속후 총손실	dB	7.690	7.430	7.560	7.500 길이 : 18.7km
	dB/km	0.414	0.400	0.407	0.400 접속개소 : 20개소
접속 총손실 (dB)	산술값	1.230	0.850	1.040	0.970
	절대값	1.630	1.270	1.450	0.970
케이블 손실	dB	6.460	6.580	6.520	6.530 케이블 손실 =
	dB/km	0.347	0.349	0.348	0.351 접속후 총손실 - 접속총손실
절 대 값	dB	6.060	6.160	6.110	6.530
	dB/km	0.326	0.331	0.328	0.351
실제 케이블 손실	0.35 dB/km				
접속후 분산값	2.41 ps/nm·km				

그림 1. 使用된 光纖維의 OTDR 데이터 및 分散 데이터  
Table 5. Used in Table 3. OTDR Data & Dispersion Data



### 3-3. 測定結果

實驗內容에서 본 바와 같이 光파라메타에 의한 接續損失은 MFD差에 의한 影響이 가장 크며 接續損失測定時 OTDR에 의한 測定은 兩方向 測定後 算術平均値으로 計算되어야만 Cut-Back으로 測定된 值과一致함을 알 수 있으며, 單方向 測定値은 相當한 差

異가 있는 것으로 나타난다. 測定結果(표4, 표5)에서 보는 바와 같이 接續에 의해 發生된 接續損失값을 케이블 接續前, 後 데이타와 比較 分析한結果 OTDR 測定値은 兩方向 算術平均値 值으로 計算되어야 함을 알 수 있다.

#### IV. 結 論

接續地點發生되는接續損失값의正確한評價는光傳送 시스템에서의運用損失 및環境要因에 의한接續點의信賴性側面에서도 매우重要的內容이된다. 따라서現在國內外的으로光케이블施設時使用되고 있는後方散亂法에의한接續損失測定은單方向에의해 나타난測定값은參考值에不過하며實際接續損失값은兩方向測定에의한算術平均값으로算出되어야한다. 그리고이값은본研究課程을通过Cut-Back測定方法에의한結果와同一함을證明하게되었다.

이것은서로다른光파라메타를갖는光纖維의結合地點에서後方散亂된光펄스는OTDR의測定方向에따라서로相異한解析을하기때문이다. 또한,이러한現象은光纖維製造工法中MCVD(Modified Chemical Vapor Deposition)法<sup>(8)</sup>에의해製造된光纖維와VAD(Vapor Axial Deposition)法<sup>(9)</sup>에의해製造된光纖維特性에따라약간의差異를가지고있으며이要因은앞으로좀더깊은研究가要求된다.

本論文은備成通信建設(株)에서支援한研究費에 의해研究되었음

#### 參 考 文 獻

1. M. KATO, M. TAKANO : "Optical Fiber Network Will Soon Reach Homes" "NIKKEI ELECTRONICS ASIA" December 1992
2. H. FUKUTOMI : "Optical Fiber Cable" THE TELECOMMUNICATIONS ASSOCIATION 1986 PP64-94
3. 渡部和雄, 吉家秀可: シソク“ルモート”光ファイバ “用多芯一括融着接続装置”住友電氣 第134號 1989
4. T. WATANABE, K. OSAKA, T. YANAGI, Y. ISHIGURO, Y. ASANO : "Mass Fusion Splicing of hermetically coated optical fiber ribbon" IWCS 1990
5. N. HAKAMATA, S. SUZUKI, Y. USUI, T. KAKII : "Development of splicing machine with an application of a cladding modescattered power monitoring system" SUITOMO ELECTRIC TECHNICAL REVIEW. No. 25

1986

6. HANS DAMSGAARD, OLB HANSEN : "Factory Spliced Fiber" IWCS 1990
7. T. HORIGUCHI, M. TOKUDA : "Optical Time Domain Reflectometer for single-mode fibers" THE TRANSACTIONS OF THE IECE OF JAPAN Vol. E67 No.9 1984
8. A. HORDVIK, G. NAKKEN : "A method for reducing the conicalness of the core diameter in preforms made by the MCVD process" The European conference on optical communication 1981
9. T. KUWAHARA, M. WATANABE, S. SUZUKI : "Refractive index profile formation mechanism on VAD fiber" 7th European Conference on optical communication 1981
10. N. KUWAKI, M. OHASHI, C. TANAKA, N. UESURI, "Evaluation for The Definition And Measurement Condition of Mode Field Diameter" MTT Electrical Communication Laboratories.



金鍾元(Jong Won Kim) 정회원

1952年4月6日生

1981年2月:嶺南大學校 工科大學  
電子工學科 卒業(工  
學士)1984年8月:嶺南大學校 大學院  
電子工學科 卒業(工  
學碩士)1991年2月:嶺南大學校 大學院 電子工學科 博士 課程修了  
1981년 9月~1988年 8月:永進專門大學 電子通信科 講師  
吳兼任教授1986年3月~1987年8月:嶺南專門大學 電子科 講師  
1987年9月~1988年8月:慶南大學校 工科大學 電子工學  
科 講師1992年3月~1992年8月:大田實業專門大學 電子計算機科  
講師1992年9月~1993年2月:嶺南大學校 工科大學 電子工學  
科 講師

1979年1月~1988年4月:興光通信工社 專務

1988年4月~現在:備成通信建設(株)代表理事 副社長